

УДК 621.315.592

## СПЕКТРЫ ЭПР НЕЭКВИВАЛЕНТНЫХ ПОЗИЦИЙ АЗОТА В 15R SiC

*Е. Н. Калабухова, Н. Н. Кабдин, С. Н. Лукин, Е. Н. Мохов, Б. Д. Шанина*

Исследован спектр ЭПР азота в 15R SiC на частоте  $\nu = 132$  ГГц при  $T = 15 \div 20$  К. Обнаружены спектры ЭПР от пяти неэквивалентных позиций азота. Для идентификации спектров ЭПР доноров в политицах SiC с его неэквивалентными позициями по величине константы сверхтонкой структуры предложено различать неэквивалентные позиции по типу симметрии трех ближайших плоскостей, окружающих примесный атом. Рассмотрены возможные причины наличия неэквивалентных позиций донора в политицах SiC в рамках метода эффективной массы; релаксация решетки и смешивание близких зон.

Отличительной особенностью поведения примесных атомов во всех политицах карбида кремния является большое число магнитно-неэквивалентных центров, образуемых ими в одном и том же зарядовом состоянии. Это является главным фактором, сдерживающим изучение донорных и акцепторных примесей в SiC методом ЭПР. Разрешающей способности обычно используемых в технике ЭПР спектрометров, работающих на частотах 9 и 37 ГГц, оказывается недостаточно для разделения большого числа спектров ЭПР, отвечающих неэквивалентным позициям примесных атомов в решетке SiC. Это привело к тому, что до сих пор в литературе отсутствуют достоверные ЭПР данные о поведении даже таких основных донорной и акцепторной примесей в карбиде кремния, какими являются азот и бор.

Использование радиоспектрометра ЭПР высокого разрешения с рабочей частотой  $\nu \approx 140$  ГГц существенно расширяет потенциальные возможности метода ЭПР и открывает перспективу для успешного исследования дефектов в SiC методом ЭПР [1, 2].

Настоящая работа посвящена решению одной из общих задач для всех политипов карбида кремния — экспериментальному установлению числа кристаллографически неэквивалентных состояний, образуемых примесью в решетке SiC и выяснению причин их образования.

В работе исследован спектр ЭПР азота в 15R SiC. Согласно [3], в 15R SiC число кристаллографически неэквивалентных позиций равно пяти, однако в спектре люминесценции экситонов, связанных на ионизованной и нейтральной донорной примеси азота, наблюдаются четыре серии бесфононных линий [4], отвечающие неэквивалентным позициям, образуемым примесным атомом в решетке SiC.

Высокая разрешающая способность используемого ЭПР спектрометра позволила обнаружить все пять спектров ЭПР азота в 15R SiC. Проведен совместный анализ данных ЭПР азота в 6H и 15R SiC. Для идентификации спектров ЭПР доноров в политицах SiC с его неэквивалентными позициями по величине константы сверхтонкой структуры (СТС) предложено различать неэквивалентные позиции по типу симметрии трех ближайших плоскостей, окружающих примесный атом: гексагональная «тг», кубическая «кк», смешанная «кг» или «гк».

# 1. Техника эксперимента

Для измерений использовались образцы карбида кремния политипа 15RSiC, выращенные методом Лели, легированные азотом с концентрацией нескомпенсированных доноров  $(5 \div 10) \cdot 10^{17} \text{ см}^{-3}$ .

Исследования проводились на низкотемпературном радиоспектрометре ЭПР высокого разрешения, выполненном по схеме прямого усиления. Генератором СВЧ служит отражательный клистрон с рабочей частотой  $\sim 140 \text{ ГГц}$ . Клистрон запитан от блока стабилизированных источников питания накала, фокусирующего электрода резонатора и отражателя. В состав источника питания отражателя входит быстродействующая, астатическая система автоподстройки частоты по опорному либо рабочему резонатору. Рабочая частота измеряется резонансным волномером с относительной погрешностью  $\leq 6 \cdot 10^{-4}$  [5]. Примененный полуконфокальный рабочий резонатор позволяет осуществлять одноосное вращение исследуемого образца. Детектором СВЧ служит охлаждаемый жидким гелием болометр на основе  $n\text{-InSb}$ . Детектирующий элемент согласован с малошумящим предусилителем по минимуму коэффициента шума путем параллельного включения пяти полевых транзисторов типа КП 303А. Спек-

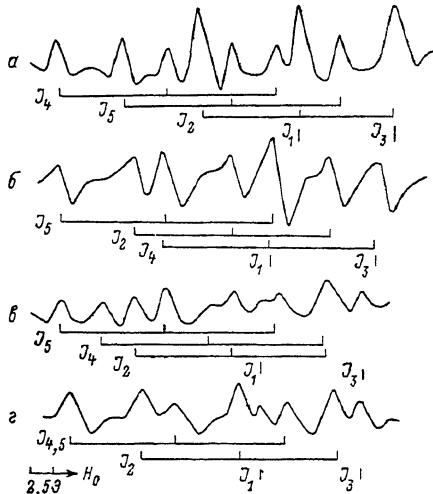


Рис. 1. Вид спектра ЭПР азота в 15RSiC.  
 $v = 132 \text{ ГГц}$ ,  $T = 15 \text{ К}$ .  $a - H_0 \parallel c$  ( $\Theta = 90^\circ$ ),  $b - H_0 \perp c$  ( $\Theta = 0^\circ$ ),  $c - \Theta = 35^\circ$ ,  $d - 50^\circ$ .  $\Theta$  — угол между магнитным полем  $H_0$  и осью  $c$ .

тральная плотность шума в полосе частот 1—500 кГц составляет  $2 \cdot 10^{-9} \text{ В} \cdot \text{Гц}^{-1/2}$ . Система регистрации позволяет вести визуальное наблюдение спектров ЭПР на экране специализированного многофункционального осциллографического индикатора и обеспечивает запись первой производной сигнала поглощения на двухкоординатном самопишущем потенциометре. В радиоспектрометре имеется возможность модуляции магнитного поля на четырех фиксированных частотах 100, 10, 1, 0.1 кГц.

Поляризующее магнитное поле создается сверхпроводящей системой с максимальной напряженностью 74 кЭ. Однородность магнитного поля составляет  $10^{-5} \text{ в См}^{-3}$ . Сверхпроводящая система содержит соленоид, снабженный сверхпроводящим тепловым ключом, и дополнительную сверхпроводящую катушку развертки с максимальной амплитудой +1 кЭ. Управление состоянием сверхпроводящего ключа полностью автоматизировано. Выходной каскад стабилизатора магнитного поля выполнен на одном силовом кремниевом транзисторе типа ТКД 165, что позволило существенно упростить электрическую схему стабилизатора, уменьшив количество радиоэлементов и повысить надежность устройства.

Электрические выводы для подключения токовводов соленоида и катушки развертки, а также сверхпроводящий ключ расположены на нижнем фланце магнитной системы. Низкотемпературное поле вокруг магнитной системы создается внутренней медной обечайкой криостата типа КГ 150, что позволило эксплуатировать ее в режимах, при которых в жидким гелию находится только сверхпроводящий ключ. Соленоид и катушка развертки имеют электрический контакт с корпусом подвески, используемой в качестве общего токоввода. Конструкция и сечение остальных латунных токовводов оптимизированы по расходу жидкого гелия. Алгоритм управления магнитным полем позволяет свести к минимуму время работы токовводов под током, что позволило реализовать эконо-

мичную, по расходу жидкого гелия, криомагнитную систему радиоспектрометра. Недельный расход жидкого гелия при ежедневной 10-часовой работе и многоократной смене образцов не превосходит 20 л.

Калибровка радиоспектрометра осуществляется по спектру ЭПР примесных ионов  $Mn^{2+}$  в порошке  $MgO$  [6]. Разрешающая способность радиоспектрометра позволяет проводить относительные измерения величин  $g$ -фактора неизвестных спектров ЭПР с точностью  $2 \cdot 10^{-5}$  (при ширине линии  $< 5 \text{ Гц}$ ). Таким образом, абсолютная точность определения  $g$ -фактора исследуемого спектра (при  $g \approx 2$ ) определяется точностью измерения  $g$ -фактора калибровочного вещества ( $2 \cdot 10^{-4}$  для  $Mn^{2+}$  в  $MgO$  [6]). Погрешность определения констант сверхтонкой структуры не превосходит 1 %.

## 2. Экспериментальные результаты

Спектр ЭПР азота в  $15R\text{SiC}$  исследовался при температуре 15–20 К. Расшифровка спектра проводилась путем выделения эквидистантных линий в спектре с одинаковой угловой зависимостью  $g$ -фактора. При этом относительные интенсивности линий не учитывались из-за их перекрытия и эффектов прохождения.

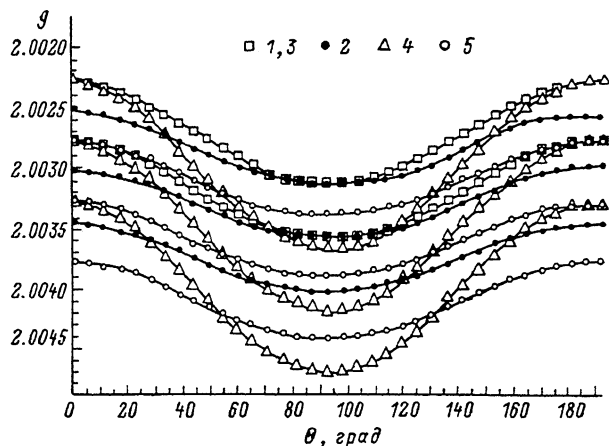


Рис. 2. Угловые зависимости  $g$ -фактора спектров ЭПР донорной примеси азота в  $15R\text{SiC}$ .  
 $\nu = 132 \text{ ГГц}, T = 15 \text{ К}.$  1 —  $J_1$ , 2 —  $J_2$ , 3 —  $J_3$ , 4 —  $J_4$ , 5 —  $J_5$ .

На рис. 1 приведен спектр ЭПР азота в  $15R\text{SiC}$  при ориентации магнитного поля перпендикулярно, параллельно главной оси кристалла ( $H_0 \perp c$ ,  $H_0 \parallel c$ ) и при промежуточном угле  $\Theta = 35 \pm 50^\circ$  между магнитным полем  $H_0$  и гексагональной осью  $c$ .

Как видно из рис. 1, в  $15R\text{SiC}$  можно различить пять спектров ЭПР. Три из них состоят из трех линий СТС от ядра азота  $^{14}\text{N}$  ( $I=1$ ). Два других представляют собой одиночные линии с анизотропной шириной. Угловые зависимости  $g$ -фактора пяти спектров представлены на рис. 2.

Согласно [7, 8], магнитно-неэквивалентным позициям примесных атомов в решетке  $\text{SiC}$  соответствуют неэквивалентные позиции атомов, различающиеся расстоянием до ближайших трех плоскостей атомов кремния или углерода, расположенных вдоль гексагональной оси  $c$ .

Как видно из табл. 1, расстояние между атомами азота и второй ближайшей плоскостью атомов кремния вдоль гексагональной оси  $c$  позволяет различать три неэквивалентные позиции азота в  $6H\text{SiC}$ . Для  $15R\text{SiC}$  требуется привлечение третьей плоскости атомов кремния, ближайшей к атомам азота, чтобы выделить пять его неэквивалентных позиций, считая, что гексагональным позициям соответствуют узлы, заключенные между одноименными плоскостями  $A$  и  $A$ ,  $B$  и  $B$ , а кубическим позициям соответствуют узлы, заключенные между разноименными пло-

скостями  $A$  и  $B$ ,  $C$  и  $A$ , в  $6H$  SiC имеются две кубические позиции, одна гексагональная, а в  $15R$  SiC три позиции кубические и две гексагональные.

Таблица 1

Расстояние  $R$  между атомами азота  $N_i$  и тремя ближайшими плоскостями атомов кремния  $Si$  и углерода  $C$ , расположеными вдоль гексагональной оси  $c$  для  $6H$  SiC в ед.  $d = 1/24$  и  $15R$  SiC в ед.  $d = 1/60$

$N_i$	Тип позиций	$R_C$	$R_{Si}$
$6H$ SiC			
$N_1$	Г	12 12	3 9 15
$N_2$	К	8 16	3 11 13
$N_3$	К	16	3 5
$15R$ SiC			
$N_1$	Г	12 16 24	3 9 19
$N_2$	К	8 24	3 5 12
$N_3$	Г	16 24 28	3 13 21
$N_4$	К	8 16 28	3 5 13
$N_5$	К	8 16 28	3 11 19

Наблюдающийся спектр ЭПР в  $15R$  SiC  $n$ -типа может быть интерпретирован аналогично спектру ЭПР в  $6H$  SiC  $n$ -типа [1, 2]: спектры ЭПР с хорошо разрешенной СТС, как принадлежащие кубическим позициям

Таблица 2

Параметры спектров ЭПР азота в  $6H$  SiC и  $15R$  SiC

$\mathcal{J}_i$	$g_{\parallel}$	$g_{\perp}$	$A, \Delta H, \Theta$
$6H$ SiC			
$\mathcal{J}_1$	2.0048 $\pm 0.0002$	2.0028 $\pm 0.0003$	$\Delta H_{\parallel} = 2.5$ $\Delta H_{\perp} = 1.8$
$\mathcal{J}_2$	2.0040 $\pm 0.0002$	2.0026 $\pm 0.0002$	$12.0 \pm 0.2$
$\mathcal{J}_3$	2.0037 $\pm 0.0002$	2.0030 $\pm 0.0002$	$12.0 \pm 0.2$
$15R$ SiC			
$\mathcal{J}_1$	2.0035 $\pm 0.0002$	2.0028 $\pm 0.0002$	$\Delta H_{\parallel} = 2.2$ $\Delta H_{\perp} = 1.2$
$\mathcal{J}_2$	2.0035 $\pm 0.0002$	2.0030 $\pm 0.0002$	$10.7 \pm 0.2$
$\mathcal{J}_3$	2.0031 $\pm 0.0002$	2.00225 $\pm 0.0002$	$\Delta H_{\parallel} = 2.4$ $\Delta H_{\perp} = 1.5$
$\mathcal{J}_4$	2.00415 $\pm 0.00020$	2.0028 $\pm 0.0002$	$11.9 \pm 0.2$
$\mathcal{J}_5$	2.00385 $\pm 0.00020$	2.0033 $\pm 0.0002$	$11.9 \pm 0.2$

$\Delta H$  — ширина линии ЭПР.

донора, и одиночные линии с анизотропной шириной, как относящиеся к гексагональным позициям азота. Параметры спектров ЭПР азота в  $6H$  и  $15R$  SiC приведены в табл. 2. Спектр ЭПР от двух кубических позиций азота в  $15R$  SiC имеют одинаковые константы СТС, равные  $A=12$  Э, совпадающие по величине с константами СТС спектров ЭПР от двух куби-

ческих позиций азота в  $6H$  SiC. Третий спектр ЭПР от кубической позиции азота в  $15R$  SiC имеет меньшую константу СТС, равную  $A=10.7$  Э.

Проведем идентификацию спектров ЭПР от трех кубических позиций азота с его неэквивалентными позициями в решетке  $15R$  SiC, воспользовавшись классификацией неэквивалентных позиций  $N_i$  в политипах карбida кремния (табл. 1). Кубические позиции  $N_2, N_4$  в  $15R$  SiC и кубическая позиция  $N_3$  в  $6H$  SiC имеют одинаковые расстояния до второй плоскости атомов кремния, равное  $R_{Si}=5d$ . Кубические позиции  $N_5$  в  $15R$  SiC и  $N_2$  в  $6H$  SiC имеют одинаковое расстояние до второй плоскости атомов кремния, равное  $R_{Si}=11d$ . Тогда, если считать, что основным фактором, определяющим распределение плотности волновой функции вокруг ядра донора, является расстояние до ближайших к нему плоскостей атомов кремния или углерода [7], можно предположить, что позициям  $N_2$  и  $N_4$  с одинаковыми значениями  $R_{Si}=5d$  в  $15R$  SiC будут соответствовать спектры ЭПР с одинаковыми значениями констант СТС, равными 12 Э. А позиции  $N_5$  с  $R_{Si}=11d$  будет соответствовать спектр с меньшей константой СТС  $A=10.7$  Э. Однако в  $6H$  SiC кубические позиции  $N_2, N_3$  имеют различные расстояния  $R_{Si}$ , соответственно равные  $5d$  и  $11d$ , и им соответствуют спектры ЭПР с одинаковыми величинами констант СТС  $A=11.9$  Э.

Отсюда следует, что плоскости атомов кремния, расположенные вдоль гексагональной оси  $c$  на расстоянии  $5d$  от атомов донора, уже не влияют на распределение плотности волновой функции вокруг ядра донора. Плоскости атомов углерода, расположенные вдоль гексагональной оси  $c$ , находятся еще на более далеком расстоянии от атомов донора, чем плоскости атомов кремния, и также не могут объяснить поведения констант СТС спектров ЭПР азота в  $15R$  SiC.

В результате оказывается, что общепринятая классификация неэквивалентных позиций не позволяет провести идентификацию спектров ЭПР с его неэквивалентными позициями в решетке SiC.

### 3. Идентификация спектров ЭПР азота сего неэквивалентными позициями.

#### Анализ констант СТС

Для идентификации спектров ЭПР доноров в политипах карбida кремния с его неэквивалентными позициями по величине константы СТС будем различать неэквивалентные позиции по типу симметрии трех ближайших сфер их окружения.

Рассмотрим элементарные ячейки  $6H$  SiC и  $15R$  SiC. Элементарная ячейка  $6H$  SiC содержит две упаковки атомов ( $\text{гкк}$ )<sub>2</sub> с чередованием слоев  $ABC\ ACB$  (рис. 3, а). Элементарная ячейка  $15R$  SiC содержит три упаковки ( $\text{гкгкк}$ )<sub>3</sub> с чередованием слоев атомов  $BCACB\ ABCBA\ CABAC$ . Будем различать типы плоскостей «г», «к» по тому же принципу, что и позиции донора: плоскость гексагональная «г», если расположена между двумя одинаковыми ближайшими плоскостями, и кубическая «к» в противном случае. Для данной позиции донора две плоскости, находящиеся на одинаковом расстоянии от донора, могут совпадать по типу (обе «г» или обе «к»); тогда будем говорить, что данная сфера окружения донора гексагональная «г» или кубическая «к». Если же тип таких плоскостей не совпадает, то будем говорить о смешанной сфере «гк» (или «кг»); если плоскость сверху гексагональная (кубическая), а плоскость снизу кубическая (гексагональная), будем рассматривать три ближайшие сферы окружения донора.

В  $6H$  SiC в упаковках  $AaBbCcAaCcBb$  можно выделить три неэквивалентные позиции 1, 2, 3, отличающиеся симметрией трех ближайших сфер окружения (рис. 3, б). Для каждого из доноров 1, 2, 3 в упаковке  $AaBbCc$  определим тип трех сфер окружения так, как это показано на рис. 3, б для донора 1. Затем также поступим для доноров в упаковке  $AaCcBb$ , и мы получим, что в соответствии с симметрией окружения донора последо-

вательность донорных позиций в упаковке  $AaCcBb$  такова, как показана рис. 3, б.

В  $15R$  SiC можно выделить пять неэквивалентных позиций в упаковках  $AaBbCcBbAa$ ,  $BbCcAaCcBb$ ,  $CcAaBbAaCc$  соответственно 1, 2, 3, 4, 5, которые отличаются симметрией окружающих их слоев.

В табл. 3 представлены результаты такой классификации неэквивалентных позиций донора в  $6H$  и  $15R$  SiC. Видно, что кубические позиции азота  $N_2$  и  $N_3$  в  $6H$  SiC имеют одинаковую симметрию трех сфер окружения. Следовательно, распределение плотности волновой функции вокруг ядра азота для этих двух позиций должно быть одинаковым, что и объясняет одинаковые величины констант СТС спектров ЭПР для двух кубиче-

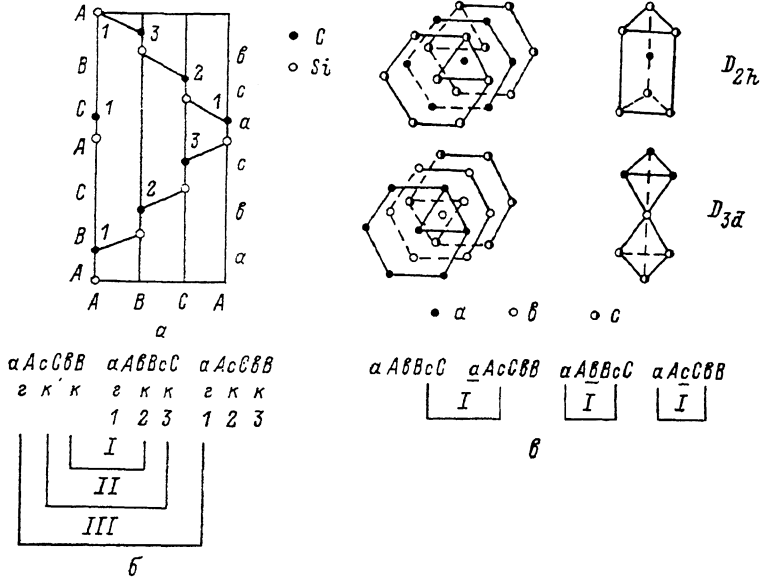


Рис. 3. Симметрия ближайших сфер окружения примесного атома в решетке  $6H$ SiC.

а — элементарная ячейка  $6H$  SiC; б — схема определения симметрии трех ближайших плоскостей, окружающих примесный атом; в — симметрия первой углеродной сферы окружения позиций  $a$ ,  $b$ ,  $c$ .  $aAcCBB$ ,  $aAbBcC$ ,  $aAcCBB$  — последовательность упаковок; гкк'к — последовательность плоскостей типа «г» и «к»; 1, 2, 3 — нумерация позиций примесного атома в упаковке; I, II, III — нумерация сфер окружения примесного атома.

ских позиций азота в  $6H$  SiC. Кубические позиции  $N_4$ ,  $N_5$  в  $15R$  SiC имеют смешанную симметрию трех сфер окружения, симметрия первой и второй сферы совпадает с симметрией двух сфер окружения позиций  $N_2$  и  $N_3$  в  $6H$  SiC. Кубическая позиция  $N_2$  в  $15R$  SiC отличается от позиций  $N_4$ ,  $N_5$   $15R$  SiC и  $N_2$ ,  $N_3$   $6H$  SiC уже симметрией первой сферы окружения. Первая сфера окружения позиции  $N_2$  имеет гексагональную симметрию.

Отсюда следует, что в  $15R$  SiC спектры ЭПР с одинаковыми величинами констант СТС  $A=11.9$  Э соответствуют кубическим позициям азота  $N_4$ ,  $N_5$ . Спектр ЭПР с меньшей константой СТС  $A=10.7$  Э соответствует кубической позиции  $N_2$ . Уменьшение величины константы СТС может быть связано с гексагональной симметрией первой сферы окружения позиции  $N_2$ .

Гексагональные позиции  $N_1$  и  $N_3$  в  $15R$  SiC имеют одинаковую симметрию трех сфер окружения. Симметрия первой сферы окружения у гексагональных позиций  $N_1$ ,  $N_3$   $15R$  SiC совпадает с симметрией гексагональной позиции  $N_1$  в  $6H$  SiC. Вторая и третья сферы окружения позиций  $N_1$  и  $N_3$   $15R$  SiC имеют смешанную симметрию, в то время как в  $6H$  SiC симметрия второй сферы кубическая, а третьей гексагональная. Различие в симметрии окружения гексагональных позиций в  $15R$  и  $6H$  SiC обуславливает сильное различие в степени анизотропии  $g$ -факторов спектров ЭПР гексагональных позиций в  $15R$  и  $6H$  SiC (табл. 2).

#### 4. О природе неэквивалентных донорных состояний в рамках метода эффективной массы

В результате проведенных исследований спектров ЭПР азота в 6H и 15R SiC установлено, что в гексагональных и ромбоэдрических политипах карбида кремния наблюдаются спектры ЭПР от нескольких неэквивалентных позиций азота и среди них есть позиции, у которых константа сверхтонкого взаимодействия (СТВ) донорного электрона с ядром азота меньше ширины линии ЭПР. Если различие между величинами констант СТВ азота в 6H SiC ( $A=12\text{ \AA}$ ) и в  $\beta$ -SiC ( $A=1.2\text{ \AA}$ ) объясняется различием боровского радиуса волновой функции донора в этих политипах [9],

Таблица 3

Симметрия трех ближайших сфер окружения неэквивалентных позиций атомов  $N_i$  в решетке 6H и 15RSiC

$N_i$	$\mathcal{J}_i$	Тип позиции	Сфера			$\Delta H, \text{ \AA}$
			I	II	III	
6H SiC						
$N_1$	$\mathcal{J}_1$	г	кк	кк	гг	$\Delta H_{\parallel} = 2.5$ $\Delta H_{\perp} = 1.8$
$N_2$	$\mathcal{J}_2$	к	кг	гк	кк	$12.0 \pm 0.2$
$N_3$	$\mathcal{J}_3$	к	гк	кг	кк	$12.0 \pm 0.2$
15R SiC						
$N_1$	$\mathcal{J}_1$	г	кк	гк	кг	$\Delta H_{\parallel} = 2.2$ $\Delta H_{\perp} = 1.2$
$N_2$	$\mathcal{J}_2$	к	гг	кк	кк	$10.7 \pm 0.2$
$N_3$	$\mathcal{J}_3$	г	кк	кг	гк	$\Delta H_{\parallel} = 2.4$ $\Delta H_{\perp} = 1.5$
$N_4$	$\mathcal{J}_4$	к	кг	гк	кг	$11.9 \pm 0.2$
$N_5$	$\mathcal{J}_5$	к	гк	кг	гк	$11.9 \pm 0.2$

$A$  — константа СТВ спектров ЭПР азота  $\mathcal{J}_i$  в 6H и 15R SiC,  $\Delta H$  — ширина линии ЭПР.

то столь большое различие в поведении констант СТВ для донора в неэквивалентных позициях одного и того же политипа нельзя объяснить различием боровского радиуса волновой функции донора. Причина того, что электронная плотность на ядре велика в одной позиции и мала в другой позиции донора, заключена, вероятнее всего, в различном характере волновой функции в этих позициях. Однако прежде чем обсуждать характер волновой функции, следует понять, с чем связано наличие нескольких неэквивалентных позиций донора в политипах карбида кремния.

Если бы мы оставались на позициях метода эффективной массы (МЭМ), то вывод уравнения Ванье для энергий и волновых функций донора требует главного предположения о независимости зон. Тогда для зоны проводимости и мелких уровней у дна этой зоны мы имели бы одно уравнение с потенциалом возмущения  $V(\mathbf{q})$ , Фурье-образ которого, как нетрудно показать с помощью теории псевдопотенциала, имеет вид:

$$V(\mathbf{q}) = \epsilon^{-1}(\mathbf{q}) [V_N(\mathbf{q}) - V_C(\mathbf{q})] - \epsilon^{-1}(\mathbf{q}) [V_{Si}(\mathbf{q}) S_{1Si}(\mathbf{q}) + V_C(\mathbf{q}) S_{1C}(\mathbf{q})] = V_0(\mathbf{q}) + V_1(\mathbf{q}), \quad (1)$$

$\epsilon^{-1}(\mathbf{q})$  — обратная величина диэлектрической постоянной;  $V_N(\mathbf{q})$ ,  $V_C(\mathbf{q})$ ,  $V_{Si}(\mathbf{q})$  — форм-факторы псевдопотенциала азота, углерода, кремния

в Фурье-представлении, которые рассчитаны нами с помощью таблиц Шлютера и др. [10];  $S_{1Si}(\mathbf{q})$ ,  $S_{1C}(\mathbf{q})$  — изменение структурного фактора решетки SiC в окрестности донора с учетом релаксации решетки

$$S_{1\alpha}(\mathbf{q}) = \frac{i}{N} \sum_{i\alpha} e^{i\mathbf{q}\mathbf{R}_{i\alpha}} q \delta \mathbf{R}_{i\alpha}, \quad (2)$$

$\mathbf{R}_{i\alpha}$  — радиусы-векторы узлов решетки;  $N$  — полное число узлов в ячейке. Здесь суммирование проводится по узлам, занятых атомами кремния в  $S_{1Si}(\mathbf{q})$ , и по углеродным узлам в  $S_{1C}(\mathbf{q})$ . Из (1) видно, что от положения донора в решетке зависит только член  $V_1(\mathbf{q})$ , обязанный учету релаксации решетки. В возмущение  $V_1(\mathbf{q})$  основной вклад вносит член  $V_C(\mathbf{q}) S_{1C}(\mathbf{q}) \epsilon^{-1}(\mathbf{q})$ , так как  $V_C(\mathbf{q}) > V_{Si}(\mathbf{q})$  почти для всех  $\mathbf{q}$ . В (2) результат суммирования по узлам в плоскости, перпендикулярной оси  $c$ , будем обозначать  $S$  с индексом  $a$ ,  $b$ ,  $c$ , если суммирование проводится в плоскости типа  $A$ ,  $B$  или  $C$  по углеродным узлам соответственно. Суммирование по плоскостям вдоль оси  $c$  ограничим тремя окружающими «сферами». Тогда для донора, занимающего позицию в плоскости типа  $A$ ,  $B$  или  $C$ , суммирование по углеродным узлам приводит к следующему результату:

$$\begin{aligned} a: \quad & S_{1C}(\mathbf{q}) = S_{c_1} + S_{c_2} + S_{b_2} + S_{a_2} + S_{a_3}, \\ b: \quad & S_{1C}(\mathbf{q}) = S_{a_1} + S_{c_1} + S_{b_2} + S_{a_2} + S_{c_3} + S_{c_4}, \\ c: \quad & S_{1C}(\mathbf{q}) = S_{a_1} + S_{b_1} + S_{c_2} + S_{a_2} + S_{b_3} + S_{b_4}. \end{aligned} \quad (3)$$

В (3)  $S_{a_i}$  означает сумму по атомам углерода в плоскости типа  $A$  в первой углеродной сфере окружения донора;  $a$ ,  $b$ ,  $c$  — позиции донора. Сравнение только первых сфер показывает, что потенциал возмущения в позициях  $b$  и  $c$  имеет характер кубического окружения (рис. 3, б). В позиции  $a$  первая сфера образует призму, т. е. окружение более низкой симметрии и отличающееся от  $b$  и  $c$ .

Таким образом, это рассмотрение показывает, что если вклад потенциала  $V_1(\mathbf{q})$  существен, то следует считать, что донор с малой константой СТВ находится в плоскости типа  $A$ , а два других — в плоскости типа  $B$  и  $C$ .

Однако количественная оценка  $V_1(\mathbf{q})$  показывает, что величина этого возмущения мала ( $\sim 10^{-3}$  эВ) и не в состоянии обеспечить различие в энергиях ионизации азота в неэквивалентных позициях. Грубо говоря,  $V_1(\mathbf{q})$  пренебрежимо по сравнению с  $V_0(\mathbf{q})$ . Если  $V_1(\mathbf{q})$  пренебречь, то фактически для мелких состояний азота остается одно уравнение Банье с единым потенциалом  $V(\mathbf{q})$  для всех позиций  $N_i$ , так как  $V_0(\mathbf{q})$  от местоположения азота не зависит. Этот факт говорит о том, что наличие неэквивалентных позиций азота есть прямое следствие того, что МЭМ к гексагональным и ромбоэдрическим политипам SiC неприменим.

Нарушается основное положение о независимости зон. Последнее формулируется следующим образом [11]:

$$\Delta_{ll'} = \int r^2 dr dQ u_{k+q, l}(r) u_{k, l'}^*(r) = \delta_{ll'}, \quad (4)$$

где  $l$  нумерует разрешенные зоны;  $u_{k, l}$  — блоховский множитель волновой функции зонного электрона.

Формула (4) хорошо применима к полупроводникам с широкой запрещенной зоной, каким, в частности, является кубический SiC. Однако в гексагональных и ромбоэдрических политипах SiC разрешенные зоны подразделены на «малые» подзоны. Зона проводимости имеет столько подобных «малых» подзон, во сколько раз приближение размеров ячейки вдоль оси  $c$  в гексагональном и ромбоэдрическом политипе больше, чем в кубическом. В частности, в 6H SiC в приведенной зоне Бриллюэна в направлении  $[00k_z]$  имеются три узкие, близко расположенные зоны проводимости, соответствующие разрывам энергии на четных границах

минизон в схеме расширенной зоны Джонса [12, 13]:  $2\pi/c$ ,  $4\pi/c$ ,  $6\pi/c$ . Пренебрегать смешиванием этих зон нельзя, так как расщепление между ними  $\delta E \ll 1/3$  ширины зоны проводимости в кубическом SiC. Для трех разрешенных подзон можно приблизенно видоизменить условие (4) следующим образом:

$$\Delta_{gg'} = \delta_{gg'} + \delta_{g, g+2\pi/c} + \delta_{g, g+4\pi/c}, \quad (5)$$

$g$  — волновой вектор в данной зоне.

Тогда система трех связанных уравнений Ванье<sup>1</sup> для донора в 6H SiC приводит к уравнению для энергий ионизации донора

$$(\varepsilon - \varepsilon_0)^3 + 2V_1 V_2 V_3 - (\varepsilon - \varepsilon_0)(V_1^2 + V_2^2 + V_3^2) = 0. \quad (6)$$

В (6)  $V_1$ ,  $V_2$ ,  $V_3$  — матричные элементы зона-зонного взаимодействия;  $\varepsilon_0$  — энергия ионизации в МЭМ.

Если пренебречь подмешиванием к нижайшей из трех зон верхней зоны ( $V_3=0$ ), то решение (6) сводится к тому, что один уровень донора  $\varepsilon_1=\varepsilon_0$  остается таким, как в МЭМ, а два других равны  $\varepsilon_2, 3=\varepsilon_0 \pm \sqrt{V_1^2 + V_2^2}$ . Если же матричные элементы смешивания зон  $V_1$ ,  $V_2$ ,  $V_3$  приближенно равны друг другу, то решение (6) будет иметь другой вид — два более мелких почти совпадающих уровня и один более глубокий. Согласно экспериментальным данным [14], расположение уровней соответствует первому типу решения (6). Причем несмешивающаяся зона определяет высокосимметричный характер волновой функции донора, как в МЭМ, тогда как два расщепленных уровня характеризуются различной четностью, как симметричное и антисимметричное состояние. Более мелкий уровень должен быть антисимметричным с низкой плотностью на ядре, что соответствует гексагональной позиции донора.

Для политипа 15R SiC разрывы энергии в расширенной зоне Джонса происходят на нечетных границах зон Бриллюэна  $\pi/c$ ,  $3\pi/c$ ,  $5\pi/c$  и со значительно меньшим энергетическим зазором на границах  $2\pi/c$ ,  $4\pi/c$  [4]. Если ограничиться ненулевыми матричными элементами смешивания только для каждой пары соседних минизон, то решение секулярного уравнения для энергий ионизаций донора дает следующую схему расположения энергетических уровней в запрещенной зоне: три высокосимметричных состояния с более глубокими уровнями залегания и два низкосимметричных состояния с более мелкими уровнями залегания.

Более детальный расчет зон в политиках SiC и матричных элементов смешивания зон в настоящее время проводится.

В заключение авторы выражают благодарность Ю. А. Водакову, И. М. Заринскому за полезное обсуждение работы.

### Л и т е р а т у р а

- [1] Калабухова Е. Н., Кабдин Н. Н., Лукин С. Н. // ФТТ. 1987. Т. 29. № 8. С. 2532—2534.
- [2] Калабухова Е. Н., Кабдин Н. Н., Лукин С. Н., Петренко Т. Л. // ФТТ. 1988. Т. 30. № 8. С. 2531—2532.
- [3] Patrick L. // Phys. Rev. 1962. V. 127. N 6. P. 1878—1880.
- [4] Patrick L., Hamilton D. R., Choyke W. J. // Phys. Rev. 1963. V. 132. N 5. P. 2023—2031.
- [5] Денисенков В. П., Крымов В. Н., Курочкин В. М., Оранский Л. Г. // ПТЭ. 1982. № 3. С. 242.
- [6] Saxena G. P., Wincent C. // Canad. J. Phys. 1971. V. 49. N 17. P. 2276—2281.
- [7] Patrick L. // Phys. Rev. B. 1972. V. 5. N 6. P. 2198—2206.
- [8] Woodbury H. H., Ludwig G. W. // Phys. Rev. 1961. V. 124. N 4. P. 1083—1089.
- [9] Alexander M. N. // Phys. Rev. 1968. V. 172. N 2. P. 331—340.

<sup>1</sup> Каждое из трех уравнений Ванье трехкратно вырождено по долин-орбитальному взаимодействию, которое меньше, чем эффект смешивания зон.

- [10] Bachelet G. B., Hamann D. R., Schlüter M. // Phys. Rev. B. 1982. V. 26. N 8.  
P. 4199—4228.
- [11] Киттель Ч. Квантовая теория твердых тел. М., 1967. 491 с.
- [12] Джонс Г. Теория зон Бриллюэна и электронные состояния в кристаллах. М.,  
1968. 264 с.
- [13] Choyke W. J., Patrick L. // Phys. Rev. 1962. V. 127. N 6. P. 1868—1877.
- [14] Вакуленко О. В., Гусева О. А. // ФТП. 1981. Т. 15. № 8. С. 1528—1530.

Институт полупроводников АН УССР  
Киев  
Донецкий физико-технический институт  
АН УССР  
Донецк

Поступило в Редакцию  
14 июня 1988 г.